

Métodos numéricos

Prof. Wagner H. Bonat

Laboratório de Estatística e Geoinformação
Departamento de Estatística
Universidade Federal do Paraná



DEST
Departamento
de Estatística

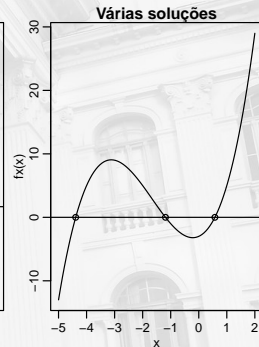
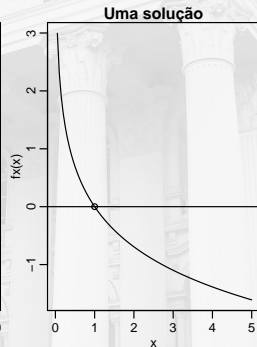
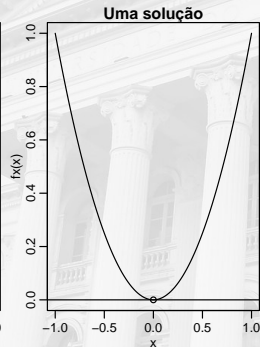
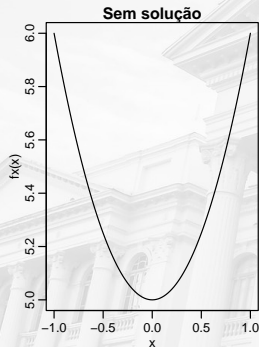




Sistemas de equações não-lineares

Equações não-lineares

- ▶ Equações precisam ser resolvidas frequentemente em todas as áreas da ciência.
- ▶ Equação de uma variável: $f(x) = 0$.
- ▶ A **solução** ou **raiz** é um valor numérico de x que satisfaz a equação.



- ▶ A solução de uma equação do tipo $f(x) = 0$ é o ponto onde $f(x)$ cruza ou toca o eixo x .

Solução de equações não lineares

- ▶ Quando a equação é simples a **raiz** pode ser determinada analiticamente.
- ▶ Exemplo trivial $3x + 8 = 0 \rightarrow x = -\frac{8}{3}$.
- ▶ Em muitas situações é impossível determinar a **raiz** analiticamente.
- ▶ Exemplo não-trivial $8 - 4,5(x - \sin(x)) = 0 \rightarrow x = ?$
- ▶ Solução numérica de $f(x) = 0$ é um valor de x que satisfaz à equação de forma aproximada.
- ▶ Métodos numéricos para resolver equações são divididos em dois grupos:
 1. Métodos de confinamento;
 2. Métodos abertos.

Erros em soluções numéricas

- ▶ Soluções numéricas não são exatas.
- ▶ Critério para determinar se uma solução é suficientemente precisa.
- ▶ Seja x_{ts} a solução verdadeira e x_{ns} uma solução numérica.
- ▶ Quatro medidas podem ser consideradas para avaliar o erro:

1. Erro real $x_{ts} - x_{ns}$.

2. Tolerância em $f(x)$

$$|f(x_{ts}) - f(x_{ns})| = |0 - \epsilon| = |\epsilon|.$$

3. Tolerância na solução: Tolerância máxima da qual a solução numérica pode desviar da solução verdadeira. Útil em geral quando métodos de confinamento são usados

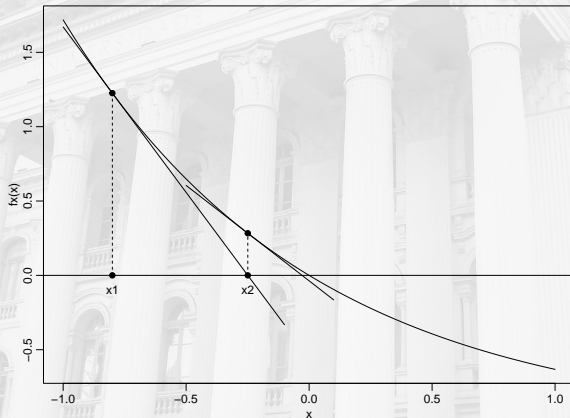
$$\left| \frac{b - a}{2} \right|.$$

4. Erro relativo estimado:

$$\left| \frac{x_{ns}^n - x_{ns}^{n-1}}{x_{ns}^{n-1}} \right|.$$

Método de Newton

- ▶ Função deve ser contínua e diferenciável.
- ▶ Função deve possuir uma solução perto do ponto inicial.
- ▶ Ilustração:



Algoritmo: Método de Newton

- ▶ Escolha um ponto x_1 como inicial.
- ▶ Para $i = 1, 2, \dots$ até que o erro seja menor que um valor especificado, calcule

$$x^{(i+1)} = x^{(i)} - \frac{f(x)}{f'(x)}.$$

- ▶ Implementação computacional

```
newton <- function(fx, f_prime, x1, tol = 1e-04, max_iter = 10) {  
  solucao <- c()  
  solucao[1] <- x1  
  for(i in 1:max_iter) {  
    solucao[i+1] = solucao[i] - fx(solucao[i])/f_prime(solucao[i])  
    if( abs(solucao[i+1] - solucao[i]) < tol) break  
  }  
  return(solucao)  
}
```

Aplicação: Método de Newton

- ▶ Encontre as raízes de

$$D(\theta) = 2n \left[\log \left(\frac{\hat{\theta}}{\theta} \right) + \bar{y}(\theta - \hat{\theta}) \right] \leq 3.84.$$

- ▶ Derivada

$$D'(\theta) = 2n(\bar{y} - 1/\theta).$$

```
ftheta <- function(theta){  
  dd <- 2*length(y)*(log(theta.hat/theta) + mean(y)*(theta - theta.hat))  
  return(dd - 3.84)  
}  
set.seed(123)  
y <- rexp(20, rate = 1)  
theta.hat <- 1/mean(y)  
# Derivada da função a ser resolvida  
fprime <- function(theta){2*length(y)*(mean(y) - 1/theta)}
```


Aplicação: Método de Newton

Solução numerica

```
Ic_min <- newton(fx = ftheta, f_prime = fprime, x1 = 0.1)
```

```
Ic_max <- newton(fx = ftheta, f_prime = fprime, x1 = 2)
```

```
c(Ic_min[length(Ic_min)], Ic_max[length(Ic_max)])
```

```
## [1] 0.7684495 1.8545775
```

Sistemas de equações

- ▶ A idéia é facilmente estendida para um sistema com n equações

$$f_1(x_1, \dots, x_n) = 0$$

$$\vdots$$

$$f_n(x_1, \dots, x_n) = 0.$$

- ▶ Genericamente, tem-se

$$\mathbf{f}(\mathbf{x}) = \mathbf{0}.$$

Algoritmo: Método de Newton

- ▶ Escolha um vetor \mathbf{x}_1 como inicial.
- ▶ Para $i = 1, 2, \dots$ até que o erro seja menor que um valor especificado, calcule

$$\mathbf{x}^{(i+1)} = \mathbf{x}^{(i)} - \mathbf{J}(\mathbf{x}^{(i)})^{-1} \mathbf{f}(\mathbf{x}^{(i)})$$

onde

$$\mathbf{J}(\mathbf{x}^{(i)}) = \begin{bmatrix} \frac{\partial f_1}{\partial x_1} & \frac{\partial f_1}{\partial x_2} & \cdots & \frac{\partial f_1}{\partial x_n} \\ \frac{\partial f_2}{\partial x_1} & \frac{\partial f_2}{\partial x_2} & \cdots & \frac{\partial f_2}{\partial x_n} \\ \vdots & \vdots & \ddots & \vdots \\ \frac{\partial f_n}{\partial x_1} & \frac{\partial f_n}{\partial x_2} & \cdots & \frac{\partial f_n}{\partial x_n} \end{bmatrix}$$

é chamado Jacobiano de $\mathbf{f}(\mathbf{x})$.

Implementação: Método de Newton

► Implementação computacional

```
newton <- function(fx, jacobian, x1, tol = 1e-04, max_iter = 10) {  
  solucao <- matrix(NA, ncol = length(x1), nrow = max_iter)  
  solucao[1,] <- x1  
  for(i in 1:max_iter) {  
    J <- jacobian(solucao[i,])  
    grad <- fx(solucao[i,])  
    solucao[i+1,] = solucao[i,] - solve(J, grad)  
    if( sum(abs(solucao[i+1,] - solucao[i,])) < tol) break  
  }  
  return(solucao)  
}
```

Aplicação: Método de Newton

► Resolva

$$f_1(x_1, x_2) = x_2 - \frac{1}{2}(\exp^{x_1/2} + \exp^{-x_1/2}) = 0$$

$$f_2(x_1, x_2) = 9x_1^2 + 25x_2^2 - 225 = 0.$$

► Precisamos obter o Jacobiano, assim tem-se

$$J(\mathbf{x}^{(i)}) = \begin{bmatrix} -\frac{1}{2}\left(\frac{\exp^{x_1/2}}{2} - \frac{\exp^{-x_1/2}}{2}\right) & 1 \\ 18x_1 & 50x_2 \end{bmatrix}.$$

Aplicação: Método de Newton

Sistema a ser resolvido

```
fx <- function(x){c(x[2] - 0.5*(exp(x[1]/2) + exp(-x[1]/2)),  
                    9*x[1]^2 + 25*x[2]^2 - 225 )}
```

Jacobiano

```
Jacobian <- function(x) {  
  jac <- matrix(NA,2,2)  
  jac[1,1] <- -0.5*(exp(x[1]/2)/2 - exp(-x[1]/2)/2)  
  jac[1,2] <- 1  
  jac[2,1] <- 18*x[1]  
  jac[2,2] <- 50*x[2]  
  return(jac)  
}
```

Aplicação: Método de Newton

Resolvendo

```
sol <- newton(fx = fx, jacobian = Jacobian, x1 = c(1,1))
```

```
tail(sol,4) # Solução
```

```
##           [,1]      [,2]
```

```
## [7,] 3.031159 2.385865
```

```
## [8,] 3.031155 2.385866
```

```
## [9,]      NA      NA
```

```
## [10,]     NA     NA
```

```
fx(sol[8,]) # OK
```

```
## [1] -3.125056e-12  9.907808e-11
```

Comentários: Método de Newton

- ▶ Método de Newton irá convergir tipicamente se três condições forem satisfeitas:
 1. As funções f_1, f_2, \dots, f_n e suas derivadas forem contínuas e limitadas na vizinhança da solução.
 2. O Jacobiano deve ser diferente de zero na vizinhança da solução.
 3. A estimativa inicial de solução deve estar suficientemente próxima da solução exata.
- ▶ Derivadas parciais (elementos da matriz Jacobiana) devem ser determinados. Isso pode ser feito analítica ou numericamente.
- ▶ Cada passo do algoritmo envolve a inversão de uma matriz.

Método Gradiente Descendente

- ▶ Método do Gradiente descendente em geral é usado para otimizar uma função.
- ▶ Suponha que desejamos maximizar $F(x)$ cuja derivada é $f(x)$.
- ▶ Sabemos que um ponto de inflexão será obtido em $f(x) = 0$.
- ▶ Note que $f(x)$ é o gradiente de $F(x)$, assim aponta na direção de máximo/mínimo.
- ▶ Assim, podemos caminhar na direção da raiz apenas seguindo o gradiente, i.e.

$$x^{(i+1)} = x^{(i)} - \alpha f(x^{(i)}).$$

- ▶ $\alpha > 0$ é um parâmetro de *tuning* usado para controlar o tamanho do passo.
- ▶ Escolha do α é fundamental para atingir convergência.
- ▶ Busca em gride pode ser uma opção razoável.

Algoritmo: Método Gradiente descendente

- ▶ Escolha um ponto x_1 como inicial.
- ▶ Para $i = 1, 2, \dots$ até que o erro seja menor que um valor especificado, calcule

$$x^{(i+1)} = x^{(i)} - \alpha f(x^{(i)}).$$

- ▶ Implementação computacional

```
grad_des <- function(fx, x1, alpha, max_iter = 100, tol = 1e-04) {  
  sol <- c()  
  sol[1] <- x1  
  for(i in 1:max_iter) {  
    sol[i+1] <- sol[i] + alpha*fx(sol[i])  
    if(abs(fx(sol[i+1])) < tol) break  
  }  
  return(sol)  
}
```

Aplicação: Método Gradiente descendente

- Encontre as raízes de

$$D(\theta) = 2n \left[\log \left(\frac{\hat{\theta}}{\theta} \right) + \bar{y}(\theta - \hat{\theta}) \right] \leq 3.84.$$

Solução numerica

```
Ic_min <- grad_des(fx = ftheta, alpha = 0.02, x1 = 0.1)
Ic_max <- grad_des(fx = ftheta, alpha = -0.01, x1 = 4)
c(Ic_min[length(Ic_min)], Ic_max[length(Ic_max)])
## [1] 0.7684546 1.8545880
```

Método Gradiente descendente

- ▶ O método estende naturalmente para sistema de equações não-lineares.
- ▶ Escolha um vetor x_1 como inicial.
- ▶ Para $i = 1, 2, \dots$ até que o erro seja menor que um valor especificado, calcule

$$x^{(i+1)} = x^{(i)} + \alpha f(x^{(i)}).$$

- ▶ Implementação computacional

```
fx2 <- function(x) { fx(abs(x)) }  
grad_des <- function(fx, x1, alpha, max_iter = 100, tol = 1e-04) {  
  solucao <- matrix(NA, ncol = length(x1), nrow = max_iter)  
  solucao[1,] <- x1  
  for(i in 1:c(max_iter-1)) {  
    solucao[i+1,] <- solucao[i,] + alpha*fx(solucao[i,])  
    #print(solucao[i+1,])  
    if( sum(abs(solucao[i+1,] - solucao[i,])) < tol) break  
  }  
}
```

Aplicação: Método Gradiente descendente

► Resolva

$$f_1(x_1, x_2) = x_2 - \frac{1}{2}(\exp^{x_1/2} + \exp^{-x_1/2}) = 0$$

$$f_2(x_1, x_2) = 9x_1^2 + 25x_2^2 - 225 = 0.$$

```
sol_grad <- grad_des(fx = fx2, x1 = c(2.5, 2), alpha = 0.025, max_iter = 20)
```

```
tail(sol_grad)
```

```
##           [,1]      [,2]  
## [5,] 3.154278 2.362746  
## [6,] 3.034792 2.385386  
## [7,] 3.031159 2.385865  
## [8,] 3.031155 2.385866  
## [9,]      NA      NA  
## [10,]     NA      NA
```

```
fx(sol_grad[8,]) # OK
```

```
## [1] -3.125056e-12  9.907808e-11
```

Comentários: Método Gradiente descendente

- ▶ Vantagem: Não precisa calcular o Jacobiano!!
- ▶ Desvantagem: Precisa de *tuning*.
- ▶ Em geral precisa de mais iterações que o método de Newton.
- ▶ Cada iteração é mais barata computacionalmente.
- ▶ Uma variação do método é conhecido como *steepest descent*.
- ▶ Avalia a mudança em $f(x)$ para um gride de α e da o passo usando o α que torna $F(x)$ maior/menor.
- ▶ O tamanho do passo pode ser adaptativo.



Integração numérica

Integração numérica

- ▶ Integrais aparecem com frequência em cálculo de probabilidades.
- ▶ A probabilidade de um evento é a área abaixo de uma curva.
- ▶ Em modelos complicados a integral pode não ter solução analítica.
- ▶ Os métodos de integração numérica, podem ser divididos em três grupos:
 1. Métodos baseados em soma finita.
 2. Aproximar a função por uma outra de fácil integração.
 3. Estimar o valor da integral.



Método Trapezoidal

Integração numérica: Método Trapezoidal

- ▶ Usa uma função linear para aproximar o integrando.
- ▶ O integrando pode ser aproximado por Série de Taylor

$$f(x) \approx f(a) + (x - a) \left[\frac{f(b) - f(a)}{b - a} \right].$$

- ▶ Integrando analiticamente essa aproximação, tem-se

$$\begin{aligned} I(f) &\approx \int_a^b f(a) + (x - a) \left[\frac{f(b) - f(a)}{b - a} \right] dx \\ &= f(a)(b - a) + \frac{1}{2}[f(b) - f(a)](b - a). \end{aligned}$$

- ▶ Simplificando, obtem-se

$$I(f) \approx \frac{[f(a) + f(b)]}{2}(b - a).$$



Método de Simpson 1/3

Integração numérica: Método de Simpson 1/3

- ▶ Aproxima o integrando por um polinômio de segunda ordem.
- ▶ Pontos finais $x_1 = a$, $x_3 = b$, e o ponto central, $x_2 = (a + b)/2$.
- ▶ O polinômio pode ser escrito na forma:

$$p(x) = \alpha + \beta(x - x_1) + \lambda(x - x_1)(x - x_2) \quad (1)$$

onde α , β e λ são constantes desconhecidas.

- ▶ Impomos a condição que o polinômio deve passar por todos os pontos, $p(x_1) = f(x_1)$, $p(x_2) = f(x_2)$ e $p(x_3) = f(x_3)$.

Integração numérica: Método de Simpson 1/3

- Isso resulta em:

$$\alpha = f(x_1), \quad \beta = [f(x_2) - f(x_1)]/(x_2 - x_1) \quad \text{e}$$

$$\lambda = \frac{f(x_3) - 2f(x_2) + f(x_1)}{2(h)^2}$$

onde $h = (b - a)/2$.

- Substituindo em 1 e integrando $p(x)$, obtém-se

$$I = \int_a^b f(x)dx \approx \int_a^b p(x)dx = \frac{h}{3} \left[f(a) + 4f\left(\frac{a+b}{2}\right) + f(b) \right].$$

Implementação: Método de Simpson 1/3

- ▶ A integral é facilmente calculada com apenas três avaliações da função.

```
simpson <- function(integrando, a, b, ...){  
  h <- (b-a)/2  
  x2 <- (a+b)/2  
  integral <- (h/3)*(integrando(a,...) +  
    4*integrando(x2, ...) + integrando(b, ...))  
  return(integral)  
}
```

- ▶ Exemplo: Calcule $\int_2^3 x^2 dx$

```
fx <- function(x) x^2  
simpson(integrando = fx, a = 2, b = 3)  
## [1] 6.333333
```

- ▶ Solução exata: $\int_2^3 x^2 dx = \frac{x^3}{3} \Big|_2^3 = \frac{3^3}{3} - \frac{2^3}{3} = 6.34$



Quadratura Gaussiana

Quadratura de Gauss

- ▶ Método trapezoidal e Simpson são muito simples.
- ▶ Aproximam o integrando por um polinômio de fácil integração.
- ▶ Resolvem a integral aproximada.
- ▶ Pontos são igualmente espaçados.
- ▶ Simples e intuitivos, porém de difícil generalização.
- ▶ Quadratura Gaussiana é um dos métodos mais populares de integração numérica.
- ▶ Aplicações: Modelos mistos não-lineares, análise de dados longitudinais, medidas repetidas, modelos lineares generalizados mistos, etc.

Quadratura de Gauss

- Forma geral da quadratura de Gauss:

$$\int_a^b f(x)dx \approx \sum_{i=1}^n C_i f(x_i), \quad (2)$$

onde C_i são pesos e x_i são os pontos de Gauss em $[a, b]$.

- Exemplo 1: Para $n = 2$ a Eq. 2 tem a forma:

$$\int_a^b f(x)dx \approx C_1 f(x_1) + C_2 f(x_2).$$

- Exemplo 2: Para $n = 3$ a Eq. 2 tem a forma:

$$\int_a^b f(x)dx \approx C_1 f(x_1) + C_2 f(x_2) + C_3 f(x_3).$$

Quadratura de Gauss

- ▶ Coeficientes C_i e a localização dos pontos x_i depende dos valores de n , a e b .
- ▶ C_i e x_i são determinados de forma que o lado direito da Eq. 2 seja igual ao lado esquerdo para funções $f(x)$ especificadas.
- ▶ A especificação de $f(x)$ vai depender do domínio de integração.
- ▶ Diferentes domínios levam a diferentes variações do método.
- ▶ Domínios comuns:
 1. Gauss-Legendre, Gauss-Jacobi e Gauss-Chebyshev

$$\int_a^b f(x) dx.$$

2. Gauss-Laguerre

$$\int_0^{\infty} f(x) e^{-x} dx.$$

3. Gauss-Hermite

$$\int_{-\infty}^{\infty} f(x) e^{-x^2} dx.$$

Quadratura de Gauss

- ▶ No domínio $[-1,1]$ a forma da quadratura de Gauss é

$$\int_{-1}^1 f(x) dx \approx \sum_{i=1}^n C_i f(x_i).$$

- ▶ C_i e x_i são determinados fazendo com que a Eq. 2 seja exata quando $f(x) = 1, x, x^2, x^3 \dots$
- ▶ O número de casos depende do valor de n .
- ▶ Para $n = 2$, tem-se

$$\int_{-1}^1 f(x) dx \approx C_1 f(x_1) + C_2 f(x_2). \quad (3)$$

Quadratura de Gauss-Legendre

- ▶ As quatro constantes C_1 , C_2 , x_1 e x_2 são determinadas fazendo Eq. 3 exata quando aplicada aos quatro casos:

$$\text{Caso 1} \quad f(x) = 1 \quad \int_{-1}^1 1 dx = 2 = C_1 + C_2$$

$$\text{Caso 2} \quad f(x) = x \quad \int_{-1}^1 x dx = 0 = C_1 x_1 + C_2 x_2$$

$$\text{Caso 3} \quad f(x) = x^2 \quad \int_{-1}^1 x^2 dx = \frac{2}{3} = C_1 x_1^2 + C_2 x_2^2$$

$$\text{Caso 4} \quad f(x) = x^3 \quad \int_{-1}^1 x^3 dx = 0 = C_1 x_1^3 + C_2 x_2^3$$

- ▶ Sistema não-linear de quatro equações e quatro incógnitas.
- ▶ Podem existir múltiplas soluções.
- ▶ Uma solução particular é obtido por impor que $x_1 = -x_2$.
- ▶ Pela equação 2, implica que $C_1 = C_2$ e a solução é

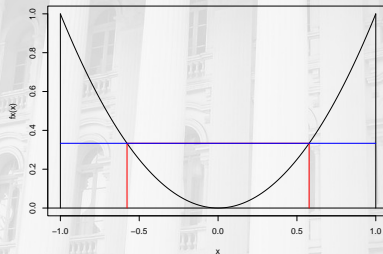
$$C_1 = 1, \quad C_2 = 1, \quad x_1 = -\frac{1}{\sqrt{3}} \quad \text{e} \quad x_2 = \frac{1}{\sqrt{3}}.$$

Exemplo: Quadratura de Gauss-Legendre

- ▶ Calcule $\int_{-1}^1 x^2 dx$.
- ▶ Usando Gauss-Legendre com dois pontos, tem-se

$$\int_{-1}^1 x^2 dx = 1 \left(\frac{-1}{\sqrt{3}} \right)^2 + 1 \left(\frac{1}{\sqrt{3}} \right)^2 = \frac{2}{3}.$$

- ▶ Ilustração



Exemplo: Quadratura de Gauss-Legendre

- ▶ Quando $f(x)$ é uma função do tipo $f(x) = 1$, $f(x) = x$, $f(x) = x^2$ ou $f(x) = x^3$ ou qualquer combinação linear destas a aproximação é exata.
- ▶ Caso contrário o procedimento fornece uma aproximação.
- ▶ Exemplo: $f(x) = \cos(x)$ valor exato é

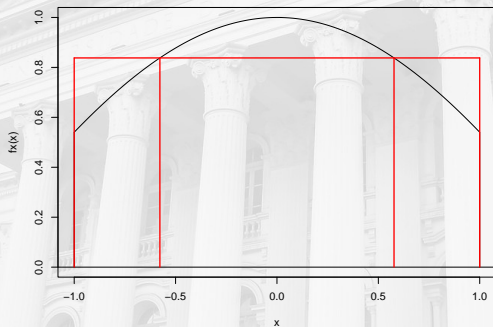
$$\int_{-1}^1 \cos(x) dx = \sin(x) \Big|_{-1}^1 = \sin(1) - \sin(-1) = 1.682841.$$

- ▶ Usando Quadratura de Gauss-Legendre com $n = 2$, tem-se

$$\int_{-1}^1 \cos(x) dx \approx \cos(-1/\sqrt{3}) + \cos(1/\sqrt{3}) = 1.675823.$$

Exemplo: Quadratura de Gauss-Legendre

- Graficamente, tem-se



Quadratura de Gauss-Legendre

- ▶ O número de pontos de integração controla a precisão da aproximação.
- ▶ Em R o pacote `pracma` fornece os pesos e pontos de integração.
- ▶ Exemplo

```
require(pracma)
gaussLegendre(n = 2, a = -1, b = 1)

## $x
## [1] -0.5773503  0.5773503
##
## $w
## [1] 1 1
```

- ▶ Baseado nos pontos e pesos de integração é fácil construir funções genéricas para integração numérica.

Implementação: Quadratura de Gauss-Legendre

► Função genérica

```
gauss_legendre <- function(integrando, n.pontos, a, b, ...){  
  pontos <- gaussLegendre(n.pontos, a = a, b = b)  
  integral <- sum(pontos$w*integrando(pontos$x,...))  
  return(integral)  
}
```

► Exemplo: $\int_{-1}^1 \cos(x) dx$.

```
# n = 2
```

```
gauss_legendre(integrando = cos, n.pontos = 2, a = -1, b = 1)
```

```
## [1] 1.675824
```

```
# n = 10
```

```
gauss_legendre(integrando = cos, n.pontos = 10, a = -1, b = 1)
```

```
## [1] 1.682942
```

Quadratura de Gauss-Hermite

- ▶ Gauss-Hermite resolve integrais do tipo:

$$\int_{-\infty}^{\infty} e^{-x^2} f(x) dx.$$

- ▶ Integral é aproximada por uma soma ponderada.

$$\int_{-\infty}^{\infty} e^{-x^2} f(x) dx \approx \sum_{i=1}^n w_i f(x_i).$$

- ▶ Função é avaliada nos pontos de Gauss e pesos de integração.
- ▶ Os pesos e pontos de integração são obtidos de forma similar ao caso de Gauss-Legendre, porém baseado no polinômio de Hermite.

Implementação: Quadratura de Gauss-Hermite

- Função genérica para integração de Gauss-Hermite

```
gauss_hermite <- function(integrando, n.pontos, ...) {  
  pontos <- gaussHermite(n.pontos)  
  integral <- sum(pontos$w*integrando(pontos$x,...)  
                 /exp(-pontos$x^2))  
  return(integral)  
}
```

Implementação: Quadratura de Gauss-Hermite

► Exemplo: $\int_{-\infty}^{\infty} \frac{1}{\sqrt{2\pi}} \exp\left(-\frac{1}{2}y^2\right) dy$.

```
# n = 2
```

```
gauss_hermite(integrando = dnorm, n.pontos = 2)
```

```
## [1] 0.9079431
```

```
# n = 10
```

```
gauss_hermite(integrando = dnorm, n.pontos = 10)
```

```
## [1] 0.9999876
```

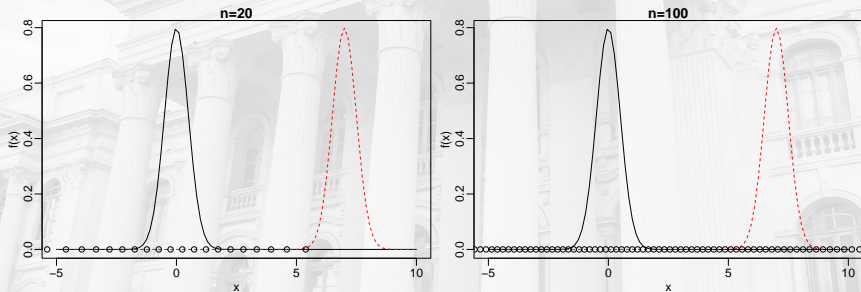
```
# n = 100
```

```
gauss_hermite(integrando = dnorm, n.pontos = 100)
```

```
## [1] 1
```

Limitações: Quadratura de Gauss

- ▶ Quadratura de Gauss apresenta duas grandes limitações:
 1. Os pontos são escolhidos baseado no polinômio escolhido, ignorando a função a ser integrada.
 2. Número de pontos necessários para a integração cresce como uma potência da dimensão da integral. 20 pontos em uma dimensão demanda $20^2 = 400$ pontos em duas dimensões.



- ▶ Espalhar os pontos de forma mais inteligente diminui o número de pontos necessários



Quadratura Gaussiana Adaptativa

Quadratura de Gauss-Hermite Adaptativa

- ▶ Os pontos de integração são centrados e escalonados como se $f(x)e^{-x^2}$ fosse a distribuição Gaussiana.
- ▶ A média da aproximação Gaussiana será a moda \hat{x} de $\ln[f(x)e^{-x^2}]$.
- ▶ A variância da aproximação Gaussiana será

$$\left[-\frac{\partial^2}{\partial x^2} \ln[f(x)e^{-x^2}] \Big|_{x=\hat{x}} \right]^{-1}.$$

- ▶ Novos pontos de integração adaptados serão dados por

$$x_i^+ = \hat{x} + \left[-\frac{\partial^2}{\partial x^2} \ln[f(x)e^{-x^2}] \Big|_{x=\hat{x}} \right]^{-1/2} x_i$$

com correspondentes pesos,

$$w_i^+ = \left[-\frac{\partial^2}{\partial x^2} \ln[f(x)e^{-x^2}] \Big|_{x=\hat{x}} \right]^{-1/2} \frac{e^{x_i^+}}{e^{-x_i}} w_i.$$

Quadratura de Gauss-Hermite Adaptativa

- ▶ Como antes, a integral é aproximada por

$$\int f(x)e^{-x^2}dx \approx \sum_{i=1}^n w_i^+ f(x_i^+).$$

- ▶ Problema!! Como encontrar a moda e o hessiano de $\ln[f(x)e^{-x^2}]$?
- ▶ Analiticamente ou numericamente.
- ▶ Caso especial Gauss-Hermite Adaptativa com $n = 1 \rightarrow$ Aproximação de Laplace.



Aproximação de Laplace

Aproximação de Laplace

- ▶ Denote $f(x)e^{-x^2}$ por $Q(x)$.
- ▶ Como $n = 1$, $x_1 = 0$ e $w_1 = 1$, obtemos $x_1^+ = \hat{x}$.
- ▶ Pesos de integração são iguais a

$$w_1^+ = |Q''(\hat{x})|^{-1/2} \frac{e^{-\hat{x}}}{e^{-0}} = (2\pi)^{n/2} |Q''(\hat{x})|^{-1/2} \frac{e^{Q(\hat{x})}}{f(\hat{x})}.$$

- ▶ Assim, a aproximação fica dada por

$$\begin{aligned} \int f(x)e^{-x^2} dx &= \int e^{Q(x)} dx \\ &\approx w_1^+ f(x_1^+) = (2\pi)^{n/2} |Q''(\hat{x})|^{-1/2} e^{Q(\hat{x})}. \end{aligned}$$

Implementação: Aproximação de Laplace

- Função `optim()` encontra o máximo e o hessiano de $Q(x)$.

```
laplace <- function(funcao, otimizador,n.dim, ...){  
  integral <- -999999  
  inicial <- rep(0,n.dim)  
  temp <- try(optim(inicial, funcao,..., method=otimizador,  
    hessian=TRUE, control=list(fnscale=-1)))  
  if(class(temp) != "try-error"){  
    integral <- exp(temp$value) * (exp((n.dim/2)*log(2*pi) -  
      0.5*determinant(-temp$hessian)$modulus))}  
  return(integral)  
}
```

Implementação: Aproximação de Laplace

► Exemplo: $\int_{-\infty}^{\infty} \frac{1}{\sqrt{2\pi}} \exp\left(-\frac{1}{2}y^2\right) dy$.

```
laplace(dnorm, otimizador = "BFGS", n.dim = 1, log = TRUE)
```

```
## [1] 1
```

```
## attr(,"logarithm")
```

```
## [1] TRUE
```



Integração Monte Carlo

Integração Monte Carlo

- ▶ Método simples e geral para resolver integrais.
- ▶ Objetivo: estimar o valor da integral de uma função $f(x)$ em algum domínio D qualquer, ou seja,

$$I = \int_D f(x) dx \quad (4)$$

- ▶ Seja $p(x)$ uma fdp cujo domínio coincide com D .
- ▶ Então, a integral em Eq. 4 é equivalente a

$$I = \int_D \frac{f(x)}{p(x)} p(x) dx.$$

- ▶ A integral corresponde a $E \left(\frac{f(x)}{p(x)} \right)$.

Algoritmo: Integração Monte Carlo

- ▶ Algoritmo: Integração Monte Carlo
 1. Gere números aleatórios de $p(x)$;
 2. Calcule $m_i = f(x_i)/p(x_i)$ para cada amostra, $i = 1, \dots, n$.
 3. Calcule a média $\sum_{i=1}^n \frac{m_i}{n}$.
- ▶ Implementação para funções com $D = \mathbb{R}$.

```
monte.carlo <- function(funcao, n.pontos, ...) {  
  pontos <- rnorm(n.pontos)  
  norma <- dnorm(pontos)  
  integral <- mean(funcao(pontos,...)/norma)  
  return(integral)  
}
```

Algoritmo: Integração Monte Carlo

► Exemplo: $\int_{-\infty}^{\infty} \frac{1}{\sqrt{2\pi}} \exp\left(-\frac{1}{2}y^2\right) dy$.

Integrando a Normal padrão

```
monte.carlo(funcao = dnorm, n.pontos = 1000)
```

```
## [1] 1
```

Integrando distribuição t com df = 30

```
monte.carlo(funcao = dt, n.pontos = 1000, df = 30)
```

```
## [1] 0.9995921
```




Funções residentes do R para integração numérica.

Função do R para integração numérica

- ▶ Função `integrate()` implementa integração numérica usando quadratura adaptativa.
- ▶ O algoritmo depende do tipo da função.

```
args(integrate)
```

```
## function (f, lower, upper, ..., subdivisions = 100L, rel.tol = .Machine$double.eps^0.25,  
##      abs.tol = rel.tol, stop.on.error = TRUE, keep.xy = FALSE,  
##      aux = NULL)  
## NULL
```

Função do R para integração numérica

- ▶ Exemplo 1: $\int_{-\infty}^{\infty} \frac{1}{\sqrt{2\pi}} \exp\left(-\frac{1}{2}y^2\right) dy$.

```
integrate(f = dnorm, lower = -Inf, upper = Inf)
```

```
## 1 with absolute error < 9.4e-05
```

- ▶ Exemplo 2: $\int_{-1}^1 x^2 dx$.

```
fx <- function(x)x^2
```

```
integrate(f = fx, lower = -1, upper = 1)
```

```
## 0.6666667 with absolute error < 7.4e-15
```

Discussão

- ▶ Integração numérica aparece com frequência em modelos mistos não Gaussianos.
- ▶ Método de Gauss-Hermite (GH) é muito popular.
- ▶ GH é limitado a integrais de baixa dimensão $n < 10$.
- ▶ GH é computacionalmente caro.
- ▶ GH adaptativo é mais eficiente, porém ainda limitado.
- ▶ Aproximação de Laplace excelente para integrando simétrico.
- ▶ Laplace resolve problemas em alta dimensão.
- ▶ Pode ser inacurada para integrando assimétricos.
- ▶ Integração Monte Carlo depende da escolha da *proposal*.
- ▶ Computacionalmente intensivo.
- ▶ Resolve problemas de alta dimensão a um alto custo computacional.



Programação não-linear

Métodos de otimização não-linear

- ▶ Os métodos são em geral categorizados baseado na dimensionalidade
 1. Unidimensional: Golden Section search.
 2. Multidimensional.
- ▶ Caso multidimensional, tem-se pelo menos quatro tipos de algoritmos
 1. Não baseados em gradiente: Nelder-Mead;
 2. Baseados em gradiente: Gradiente descendente e variações;
 3. Baseados em hessiano: Newton e quasi-Newton (BFGS);
 4. Algoritmos baseados em simulação e ideias genéticas: Simulating Annealing (SANN).
- ▶ A função genérica `optim()` em R fornece interface aos principais algoritmos de otimização.
- ▶ Vamos discutir as principais ideias por traz de cada tipo de algoritmo.
- ▶ Existe uma infinidade de variações e implementações.



Método Golden-Search ou Brent

Programação não-linear: Problemas unidimensionais

- ▶ Golden Section Search é o mais popular e muito eficiente.
- ▶ Algoritmo
 1. Defina a razão de ouro $\psi = \frac{\sqrt{5}-1}{2} = 0.618$;
 2. Escolha um intervalo $[a,b]$ que contenha a solução;
 3. Avalie $f(x_1)$ onde $x_1 = a + (1 - \psi)(b - a)$ e compare com $f(x_2)$ onde $x_2 = a + \psi(b - a)$;
 4. Se $f(x_1) < f(x_2)$ continua a procura em $[a, x_1]$ caso contrário em $[x_2, b]$.
- ▶ Em R a função `optimize()` implementa este método.

```
args(optimize)
```

```
## function (f, interval, ..., lower = min(interval), upper = max(interval),  
##     maximum = FALSE, tol = .Machine$double.eps^0.25)  
## NULL
```

- ▶ Na função `optim()` esse método é chamado de Brent.

Exemplo: Otimização unidimensional

- ▶ Minize a função $f(x) = |x - 2| + 2|x - 1|$.
- ▶ Implementando e otimizando.

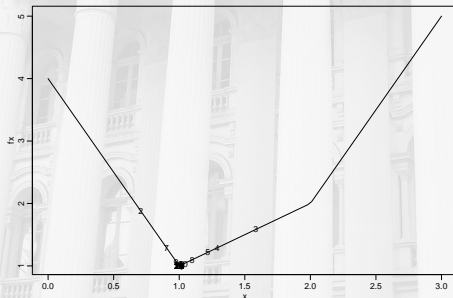
```
xx <- c()
fx <- function(x) {
  out <- abs(x-2) + 2*abs(x-1)
  xx <- c(xx, x)
  return(out)
}
out <- optimize(f = fx, interval = c(-3,3))
out

## $minimum
## [1] 1.000021
##
## $objective
## [1] 1.000021
```

Exemplo: Otimização unidimensional

- ▶ Traço do algoritmo.

```
par(mfrow = c(1,1), mar=c(2.6, 3, 1.2, 0.5), mgp = c(1.6, 0.6, 0))  
fx <- function(x) abs(x-2) + 2*abs(x-1)  
plot(fx, 0, 3)  
for(i in 1:length(xx)) {  
  text(x = xx[i], y = fx(xx[i]), label = i)  
}
```





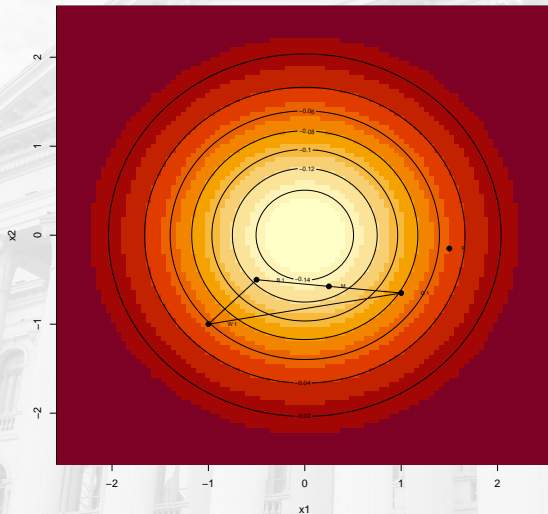
Método de Nelder-Mead

Método de Nelder-Mead (gradient free)

► Algoritmo de Nelder-Mead

1. Escolha um simplex com $n + 1$ pontos $p_1(x_1, y_1), \dots, p_{n+1}(x_{n+1}, y_{n+1})$, sendo n o número de parâmetros.
2. Calcule $f(p_i)$ e ordene por tamanho $f(p_1) \leq \dots \leq f(p_n)$.
3. Avalie se o melhor valor é bom o suficiente, se for, pare.
4. Delete o ponto com maior/menor $f(p_i)$ do simplex.
5. Escolha um novo ponto pro simplex.
6. Volte ao passo 2.

Algoritmo de Nelder-Mead: Ilustração



Algoritmo de Nelder-Mead: Escolhendo o novo ponto

- ▶ Ponto central do lado melhor (B):

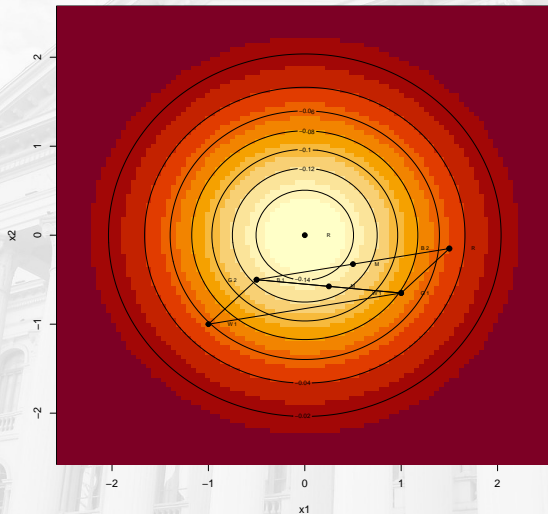
$$M = \frac{B + G}{2} = \left(\frac{x_1 + x_2}{2}, \frac{y_1 + y_2}{2} \right).$$

- ▶ Refletir o simplex para o lado BG.

$$R = M + (M - W) = 2M - W.$$

- ▶ Se a função em R é menor que em W movemos na direção correta.
 1. Opção 1: Faça $W = R$ e repita.
 2. Opção 2: Expandir usando o ponto $E = 2R - M$ e $W = E$, repita.
- ▶ Se a função em R e W são iguais contraia W para próximo a B, repita.
- ▶ A cada passo uma decisão lógica precisa ser tomada.

Algoritmo de Nelder-Mead: Ilustração



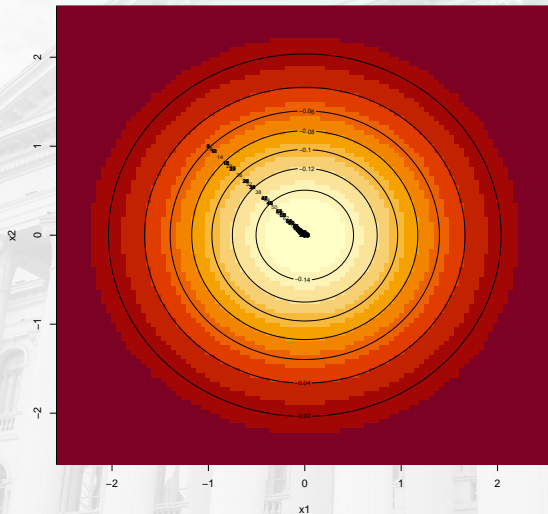


Métodos baseados em gradiente

Métodos baseado em gradiente

- ▶ Use o gradiente de $f(x)$, ou seja, $f'(x)$ para obter a direção de procura.
 1. $f'(x)$ pode ser obtido analiticamente;
 2. $f'(x)$ qualquer aproximação numérica.
- ▶ A direção de procura s_n é o negativo do gradiente no último ponto.
- ▶ Passos básicos
 1. Calcule a direção de busca $-f'(x)$.
 2. Obtenha o próximo passo $x^{(n+1)}$ movendo com passo α_n na direção de $-f'(x)$.
 3. Tamanho do passo α_n pode ser fixo ou variável.
 4. Repita até $f'(x^i) \approx 0$ seja satisfeito.

Ilustração: Métodos baseado em gradiente





Métodos baseados em hessiano

Métodos baseado em hessiano

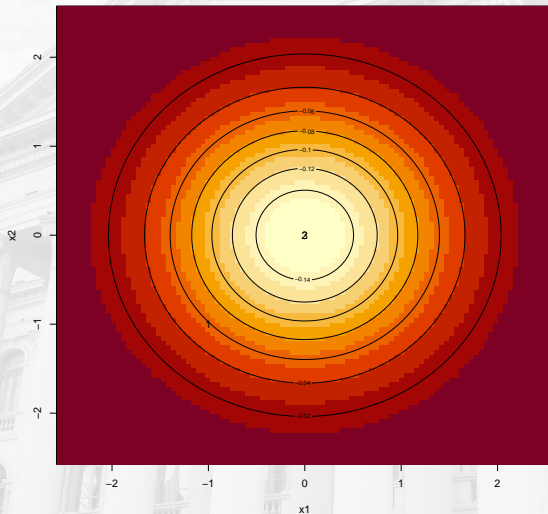
- ▶ Algoritmo de Newton-Raphson.
- ▶ Maximizar/minimizar uma função $f(x)$ é o mesmo que resolver a equação não-linear $f'(x) = 0$.
- ▶ Equação de iteração

$$x^{(i+1)} = x^{(i)} - J(x^{(i)})^{-1} f'(x^{(i)}),$$

onde J é a segunda derivada (hessiano) de $f(x)$.

- ▶ $J(x^{(i)})$ pode ser obtida analítica ou numericamente.
- ▶ $J(x^{(i)})$ pode ser aproximada por uma função mais simples de calcular.
- ▶ Métodos Quasi-Newton (mais famoso BFGS).

Ilustração: Métodos baseado em hessiano (Newton)



Métodos Quasi-Newton

- ▶ Métodos quasi-Newton tentam imitar o método de Newton.
- ▶ A equação de iteração é dada por

$$x^{(i+1)} = x^{(i)} - \alpha_i \mathbf{H}_i f'(x^{(i)}),$$

onde \mathbf{H}_i é alguma aproximação para o inverso do Hessiano.

- ▶ α_i é o tamanho do passo.
- ▶ Denote $\delta_i = x^{(i+1)} - x^{(i)}$ e $\gamma_i = f'(x^{(i+1)}) - f'(x^{(i)})$.
- ▶ Para obter \mathbf{H}_{i+1} o algoritmo impõe que

$$\mathbf{H}_{i+1} \gamma_i = \delta_i.$$

- ▶ Algoritmo DFP

$$\mathbf{H}_{i+1} = \mathbf{H}_i - \frac{\mathbf{H}_i \gamma_i \gamma_i^\top \mathbf{H}_i}{\gamma_i^\top \mathbf{H}_i \gamma_i} + \frac{\delta_i \delta_i^\top}{\delta_i^\top \gamma_i}.$$

Métodos Quasi-Newton

- ▶ Versão melhorada do DFP devido a Broyden, Fletcher, Goldfarb e Shanno (BFGS).
- ▶ Aproxima o hessiano por

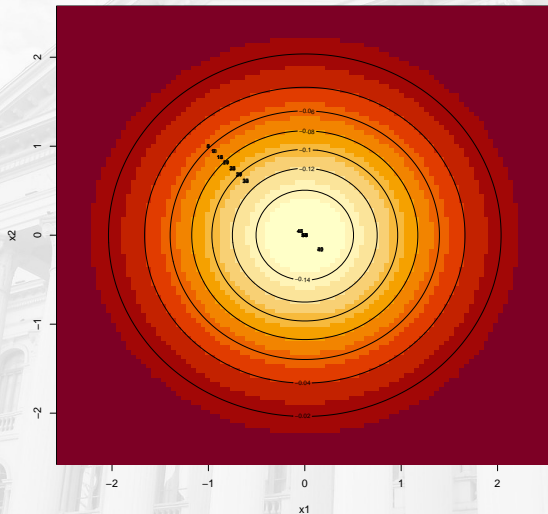
$$\mathbf{H}_{i+1} = \mathbf{H}_i - \frac{\delta_i \gamma_i^\top \mathbf{H}_i + \mathbf{H}_i \gamma_i \delta_i^\top}{\delta_i^\top \gamma_i} + \left(1 + \frac{\gamma_i^\top \mathbf{H}_i \gamma_i}{\delta_i^\top \gamma_i} \right) \left(\frac{\delta_i \delta_i^\top}{\delta_i^\top \gamma_i} \right).$$

- ▶ Implementações modernas do BFGS usando *wolfe line search* para encontrar α_i .
- ▶ Considere $\psi(\alpha) = f(x^{(i)} - \alpha \mathbf{H}_i f'(x^{(i)}))$, encontre α_i tal que

$$\psi_i(\alpha_i) \leq \psi_i(0) + \mu \psi'_i(0) \alpha_i \quad \text{e} \quad \psi'_i(\alpha_i) \geq \eta \psi'_i(0),$$

onde μ e η são constantes com $0 < \mu \leq \eta < 1$.

Ilustração: Métodos baseado em hessiano (BFGS)





Métodos baseados em simulação

Métodos baseado em simulação

► Algoritmo genérico (maximização):

1. Gere uma solução aleatória (x_1);
2. Calcule a função objetivo no ponto simulado $f(x_1)$;
3. Gere uma solução na vizinhança (x_2) do ponto em (1);
4. Calcule a função objetivo no novo ponto $f(x_2)$:
 - Se $f(x_2) > f(x_1)$ mova para x_2 .
 - Se $f(x_2) < f(x_1)$ TALVEZ mova para x_2 .
5. Repita passos 3-4 até atingir algum critério de convergência ou número máximo de iterações.

Métodos baseado em simulação: Simulating annealing

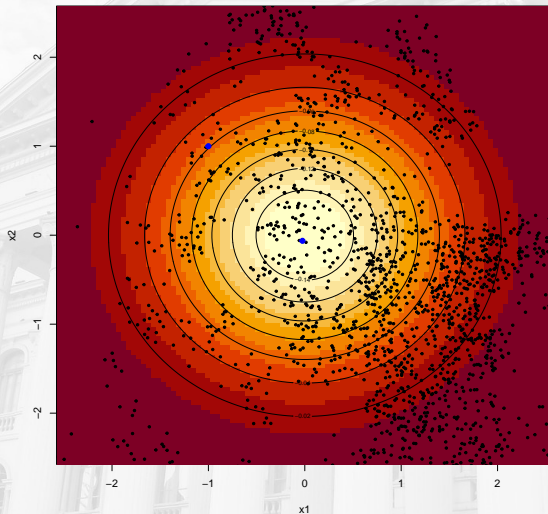
- ▶ Para decidir se um ponto x_2 quando $f(x_2) < f(x_1)$ será aceito, usa-se uma probabilidade de aceitação

$$a = \exp(f(x_2) - f(x_1))/T,$$

onde T é a *temperatura* (pense como um *tuning*).

- ▶ Se $f(x_2) > f(x_1)$ então $a > 1$, assim o x_2 será aceito com probabilidade 1.
- ▶ Se $f(x_2) < f(x_1)$ então $0 < a < 1$.
- ▶ Assim, x_2 será aceito se $a > U(0,1)$.
- ▶ Amostrador de Metropolis no contexto de MCMC (*Markov Chain Monte Carlo*).

Ilustração: Métodos baseado em simulação (SANN)



Escolhendo o melhor método

- ▶ Método de Newton é o mais eficiente (menos iterações).
- ▶ Porém, cada iteração pode ser cara computacionalmente.
- ▶ Cada iteração envolve a solução de um sistema $p \times p$.
- ▶ Métodos quasi-Newton são eficientes, principalmente se o gradiente for obtido analiticamente.
- ▶ Quando a função é suave os métodos de Newton e quasi-Newton geralmente convergem.
- ▶ Métodos baseados apenas em gradiente são simples computacionalmente.
- ▶ Em geral precisam de *tuning* o que pode ser difícil na prática.
- ▶ Método de Nelder-Mead é simples e uma escolha razoável.
- ▶ Métodos baseados em simulação são ideal para funções com máximos/mínimos locais.
- ▶ Em geral são caros computacionalmente e portanto lentos.



Recomendações

Escolhendo o melhor método

- ▶ Em R o pacote `optimx()` fornece funções para avaliar e comparar o desempenho de métodos de otimização.
- ▶ Exemplo: Minimizando a Normal bivariada.
- ▶ Escrevendo a função objetivo

```
fx <- function(xx){-dmvnorm(xx)}
```

Escolhendo o melhor método

- Comparando os diversos algoritmos descritos.

```
require(optimx)

## Loading required package: optimx

res <- optimx(par = c(-1,1), fn = fx,
              method = c("BFGS","Nelder-Mead","CG"))

res
```

	p1	p2	value	fevals	gevals
## BFGS	-1.772901e-06	1.772901e-06	-0.1591549	13	11
## Nelder-Mead	1.134426e-04	-1.503306e-04	-0.1591549	55	NA
## CG	-8.423349e-06	8.423349e-06	-0.1591549	97	49
##	niter	convcode	kkt1	kkt2	xtime
## BFGS	NA	0	TRUE	TRUE	0.005
## Nelder-Mead	NA	0	TRUE	TRUE	0.004
## CG	NA	0	TRUE	TRUE	0.019

Algumas recomendações

- ▶ Otimização trata todos os parâmetros da mesma forma.
- ▶ Cuidado com parâmetros em escalas muito diferentes.
- ▶ Cuidado com parâmetros restritos.
- ▶ Recomendação: Torne todos os parâmetros irrestritos ou faça sua função a prova de erros.
- ▶ Use o máximo possível de resultados analíticos.
- ▶ Tutorial V.